140

TSCHERMAKS MINERALOGISCHE UND PETROGRAPHISCHE MITTEILUNGEN

TMPM

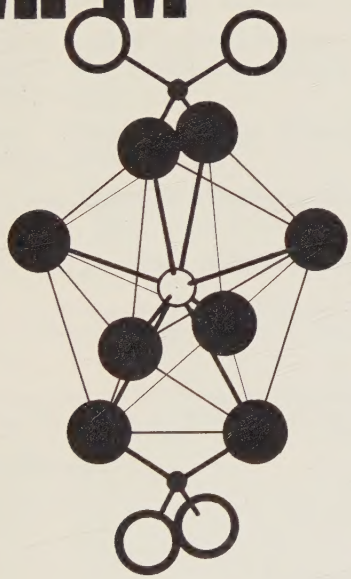

Dritte Folge · Band 14 · 1970
81 Abbildungen

SPRINGER-VERLAG WIEN · NEW YORK

Tschermaks Mineralogische und Petrographische Mitteilungen

Unter Mitwirkung von / In Cooperation with
H. Heritsch, Graz · J. Ladurner, Innsbruck · H. Wieseneder, Wien

Herausgegeben von / Edited by
J. Zemann, Wien

Fachbeirat / Advisory Board
L. Barić, Zagreb · B. Cambel, Bratislava
Judith W. Frondel, Cambridge, Mass. · P. Gallitelli, Bologna
G. Giusca, Bucureşti · B. Hejtman, Praha · E. Jäger, Bern
St. Karamata, Beograd · I. Kostov, Sofia · G. Pantó, Debrecen

Inhaltsverzeichnis

1. Heft

Seite

Beran, A.: Messung des Ultrarot-Pleochroismus von Mineralen. IX. Der Pleochroismus der OH-Streckfrequenz in Titanit. (Mit 2 Abbildungen) 1

Measurement of the Infrared-Pleochroism in Minerals. IX. The Pleochroism of the OH-stretching Frequency in Titanite.

Linke, W.: Mineralogie und Petrologie ostalpiner Tonschiefer. (Mit 1 Abbildung) 7

Mineralogy and Petrology of East-Alpine Clay Schists.

Donnay, Gabrielle, J. M. Stewart, and **H. Preston:** The Crystal Structure of Sonoraite, $Fe^{3+}Te^{4+}O_3(OH) \cdot H_2O$. (With 3 Figures) 27

Die Kristallstruktur von Sonorait, $Fe^{3+}Te^{4+}O_3(OH) \cdot H_2O$.

Riedmüller, G., und **B. Schwaighofer:** Elektronenbeugung an Tonmineralien mit Thallium-(I)-Chlorid als innerem Standard. (Mit 2 Abbildungen) 45

Electron Diffraction on Clay Minerals with Thallium-(I)-Chloride as Internal Standard.

Kupčík, V., und **Ludmilla Veselá-Nováková:** Zur Kristallstruktur des Bismuthinits, Bi_2S_3. (Mit 1 Abbildung) 55

The Crystal Structure of Bismuthinite.

Linke, W.: Messung des Ultrarot-Pleochroismus von Mineralen. X. Der Pleochroismus der OH-Streckfrequenz in Zoisit. (Mit 1 Abbildung) 61

Measurement of the Infrared-Pleochroism in Minerals. X. The Pleochroism of the OH-stretching Frequency in Zoisite.

Buchbesprechungen 64

Nachricht 74

2. Heft

Schlatti, M., K. Sahl, Anna Zemann und **J. Zemann:** Die Kristallstruktur des Polyhalits, $K_2Ca_2Mg[SO_4]_4.2H_2O$. (Mit 2 Abbildungen) 75

The Crystal Structure of Polyhalite, $K_2Ca_2Mg[SO_4]_4.2H_2O$.

Lukas, W.: Zur Genese der Antimonitlagerstätte Schlaining (Burgenland). (Mit 5 Abbildungen) 87

Contribution to the Genesis of the Antimony Deposit Schlaining (Burgenland, Austria).

Seite

Piso, E.: Zusammensetzung und Genese der Basalte des Pauliberges und von Stoob-Oberpullendorf (Burgenland). (Mit 10 Abbildungen) 103

Composition and Genesis of the Basalts from the Pauliberg and from Stoob-Oberpullendorf (Burgenland, Austria).

Raith, M.: Schachbrettoligoklas in alpidisch metamorphen Gneisen der östlichen Zillertaler Alpen (Tirol, Österreich). (Mit 6 Abbildungen) 141

Chess-board Oligoclase from Alpine Gneisses of the Eastern Zillertaler Alps (Tyrol, Austria).

Becherer, K.: Gitterkonstanten und Raumgruppe von Rhomboklas, $FeH(SO_4)_2.4H_2O$ 155

Lattice Constants and Space-group of Rhomboclase, $FeH(SO_4)_2.4H_2O$.

Wieseneder. H., und **Susanne Scharbert:** Ein Latit-Tuffit in der Laaer Serie („Helvet") des Wiener Beckens. (Mit 6 Abbildungen) 159

A Latite-Tuffite Layer in the Laa Beds ("Helvetian") of the Vienna Basin.

Buchbesprechungen 168

Nachrichten 170

3. Heft

Babu, V. R. R. M.: Petrology of Metamorphic Rocks of Almandine-Amphibolite Facies in Saidapuram-Podalakuru Area, Nellore District, Andhra Pradesh, India. (With 6 Figures) 171

Petrologie der metamorphen Gesteine in Almandin-Amphibolit-Fazies im Gebiet von Saidapuram-Podalakuru, Distrikt Nellore, Andhra Pradesh, Indien.

Huber-Schausberger, Ingeborg, Ingeborg Janda, P. Dolezel und **E. Schroll:** Chemische und spektrochemische Analyse internationaler Referenzgesteinsproben. (Mit 5 Abbildungen) 195

Chemical and Spectrochemical Analysis of International Reference Samples Rocks.

Schulz, O., und **W. Lukas:** Eine Uranerzlagerstätte in permotriadischen Sedimenten Tirols. (Mit 7 Abbildungen) 213

An Uranium Deposit in Permotriassic Sediments in the Province of Tyrol, Austria.

Buchbesprechungen 232

Nachricht 234

4. Heft

Seite

Němec, D.: Lamprophyrische und lamproide Ganggesteine im Südteil der Böhmisch-Mährischen Anhöhe (ČSSR). (Mit 15 Abbildungen) 235

Lamprophyric and Lamproidic Dikes in the Southern Part of the Bohemian-Moravian Hights (ČSSR).

Agiorgitis, G., E. Schroll und **Erika Stepán:** K/Rb-, Ca/Sr- und K/Ti-Verhältnisse in basaltoiden Gesteinen der Ostalpen und benachbarter Gebiete. (Mit 4 Abbildungen) 285

K/Rb-, Ca/Sr- and K/Ti-Ratios in Basaltic Rocks of the Eastern Alps and Neighbouring Regions.

Klob, H.: Über das Vorkommen eines porphyrischen Granites im Raume Sandl-Karlstift-Liebenau bei Freistadt im oberösterreichischen Mühlviertel (Granit von Typ „Karlstift"). (Mit 5 Abbildungen) 311

A Porphyric Granite in the Sandl-Karlstift-Liebenau Area near Freistadt, Mühlviertel, Upper Austria (Granite of the "Karlstift-type").

Listed in Current Contents

Namenverzeichnis

(B) = Buchbesprechung

Abelson, P. H. 70 (B)
Anderson, Ch. A. 71 (B)
Agiorgitis, G. 285

Babu, V. R. R. M. 171
Barth, T. F. W. 169 (B)
Becherer, K. 155
Beran, A. 1
Berger, A. 64 (B)
Bijvoet, J. M. 232 (B)
Burgers, W. G. 232 (B)

Coats, R. R. 71 (B)

Degens, E. T. 233 (B)
Dolezel, P. 195
Donnay, G. 27

Friedman, G. M. 168 (B)

Guppy, Ei. M. 168 (B)

Hägg, G. 232 (B)
Hay, R. L. 71 (B)
Huber-Schausberger, I. 195

Israël, H. 64 (B)

Janda, I. 195

Klob, H. 311
Kupčík, V. 55

Leake, B. E. 69 (B)
Linke, W. 7, 61
Lukas, W. 87, 213

Meyer, Kl. 232 (B)
Moenke, H. 70 (B)
Moenke-Blankenburg, L. 70 (B)
Müller, G. 168 (B)

Němec, D. 235

Piso, E. 103
Preston, H. 27

Raith, M. 141
Ramdohr, P. 66 (B)
Riedmüller, G. 45
Ross, D. A. 233 (B)

Sabine, P. A. 168 (B)
Sahl, K. 75
Scharbert, S. 159
Schlatti, M. 75
Schroll, E. 195, 285
Schulz, O. 213
Schwaighofer, B. 45
Sergeant, G. A. 168 (B)
Stepán, E. 285
Stewart, J. M. 27
Strunz, H. 66 (B)

Veselá-Nováková, L. 55

Wahlstrom, E. E. 73 (B)
Wieseneder, H. 159

Zemann, A. 75
Zemann, J. 75